

© 1990

## ОБ ИССЛЕДОВАНИИ ЭЛЕКТРОН-ФОНОННОГО ВЗАИМОДЕЙСТВИЯ В ГРЯЗНЫХ СВЕРХПРОВОДНИКАХ С ПОМОЩЬЮ МИКРОКОНТАКТОВ

А. В. Демин, В. А. Хлус

Рассмотрено влияние электрон-фононного взаимодействия на проводимость микроконтакта (точечного контакта) между сверхпроводником и нормальным металлом ScN в случае, когда длина свободного пробега электронов при рассеянии на примесях  $l_i$  мала по сравнению с размером контакта  $d$ . При заданной частотной зависимости функции Элиашберга вычислены проводимость и вторая производная вольт-амперной  $I(V)$  характеристик. Фононные особенности проводимости и  $d^2I/dV^2$  для «грязных» точечных контактов значительно отличаются от соответствующих особенностей чистых контактов с  $d < l_i$ , а также от фононной структуры характеристик туннельных контактов между нормальным металлом и сверхпроводником с сильной связью.

Открытие новых классов сверхпроводящих материалов стимулировало развитие туннельных и микроконтактных методов исследования квази-частичных возбуждений. В экспериментах с образцами малых размеров или с сильной структурной неоднородностью не всегда удается создать качественный туннельный контакт, что повышает интерес к измерениям проводимости микроконтактов (точечных контактов) между исследуемым сверхпроводником и нормальным металлическим электродом.

Наряду с изучением нелинейной структуры проводимости, обусловленной существованием сверхпроводящей щели в электронном спектре, возникает вопрос о влиянии на эту структуру электрон-фононного взаимодействия (ЭФВ). В настоящей работе найдена проводимость точечного контакта сверхпроводник—нормальный металл в области напряжений, соответствующих энергиям фононных мод, сильно взаимодействующих с электронами, при условии, что электронная длина свободного пробега относительно рассеяния на примесях  $l_i$  значительно меньше размера сужения  $d$ . Ранее аналогичная задача рассматривалась при баллистическом движении электронов через контакт в случае  $d \ll l_i$  [1], а также при наличии потенциального барьера с произвольным коэффициентом прозрачности на границе раздела материалов [2].

Связь производной по напряжению неомической части проводимости чистого нормального контакта со спектральной функцией ЭФВ  $G(\omega)$  к настоящему времени подробно изучена теоретически и экспериментально (см., например, обзоры [3, 4]). Нелинейности вольт-амперной характеристики (ВАХ) возникают вследствие неупругого электрон-фононного рассеяния и могут быть найдены из решения кинетического уравнения Больцмана [5] последовательными приближениями по малому параметру  $d/l_i$ , где  $l_i$  — электронная длина энергетической релаксации с испусканием фононов. Если один из берегов контакта является сверхпроводником, то при условии  $d \ll l_i$ ,  $\xi$ , где  $\xi$  — длина когерентности, соотношение между  $d^2I/dV^2$  и  $G(\omega)$  качественно остается таким же, как и для полностью нормального контакта [1]. При учете потенциального рассеяния на N—S границе возникает сильная температурная зависимость  $d^2I/dV^2$  при температурах меньше критической температуры  $T_c$  сверхпроводящего электрода

[2]. При диффузном движении электронов в микроконтакте между нормальными металлами при выполнении неравенства

$$d_i \ll (l_i l_e)^{1/2} \quad (1)$$

амплитуда микроконтактного спектра  $d^2 I/dV^2$  приобретает дополнительный малый множитель  $l_i/d$ , уменьшающий вклад неупругого рассеяния в ток вследствие изотропизации функции распределения электронов при рассеянии на примесях [6, 7].

В ряде экспериментальных работ, выполненных на грязных микроконтактах ScN или ScS типа [8-12], наблюдалось значительное увеличение амплитуды нелинейностей проводимости  $dI/dV$  и  $d^2 I/dV^2$  в области характерных фононных энергий по сравнению с нормальным случаем. Вид фононной структуры микроконтактных спектров значительно отличается от случая чистых контактов.

Ниже будет вычислено изменение проводимости за счет ЭФВ для грязных микроконтактов сверхпроводник—нормальный металл в модели, использованной в работах [13, 14], где предполагалось выполнение неравенств

$$l_i \ll d \ll (l_i \xi)^{1/2}. \quad (2)$$

Для ScN контакта данная модель приводит к появлению максимума проводимости (щелевой особенности) при напряжении, равном величине энергетической щели  $\Delta$  в сверхпроводнике [14]. Фононная добавка к проводимости пропорциональна  $\lambda d^2 \Delta / RD$ , где  $\lambda$  — безразмерная константа ЭФВ,  $R$  — нормальное сопротивление контакта,  $D = (1/3) v_F l_i$  — электронный коэффициент диффузии. При выполнении (2) относительная величина неомической проводимости мала, однако имеется дополнительная малость, которая будет рассмотрена ниже, позволяющая ослабить верхнее ограничение на размер контакта.

Перейдем к формулировке модели и основных уравнений нашей задачи.

### Модель, основные уравнения и результаты вычислений

В рассматриваемой модели контакта два массивных электрода соединены тонкой перемычкой (мостиком) длины  $d$  с поперечным размером  $a$ . Перемычка и прилегающие к ней области берегов содержат большое количество примесей. Будем считать, что выполняется условие

$$l_i \ll a \ll d. \quad (3)$$

Мы рассматриваем уравнение для квазиклассической матричной функции Грина [15, 16]

$$\check{G}_p(\epsilon, \mathbf{R}) = \begin{pmatrix} \hat{G}^R & \hat{G} \\ 0 & \hat{G}^A \end{pmatrix}, \quad (4)$$

имеющее вид

$$\mathbf{v}_F \frac{\partial \check{G}}{\partial \mathbf{R}} \left[ \frac{1}{2\tau} \langle \check{G} \rangle + i\bar{\Sigma} + i\epsilon \tau_3, \check{G} \right] = 0. \quad (5)$$

Проинтегрированные по энергии электрона функции Грина  $\hat{G}^{R,A}$  и  $\hat{G}$  являются матрицами второго порядка, включающими в себя нормальные и аномальные компоненты [17]. Матрица  $\tau_3$  в этом представлении имеет блочно-диагональный вид

$$\tau_3 = \begin{pmatrix} \tau_3 & 0 \\ 0 & \tau_3 \end{pmatrix}, \quad (6)$$

где  $\tau_3$  — обычная матрица Паули.

К нормальному металлу приложено напряжение  $V$ , потенциал сверхпроводника считаем равным нулю. Скалярный потенциал, не зависящий

в данном случае от времени, не входит в квазиклассическое уравнение (5), и лишь напряжение  $V$  на контакте появляется в задаче за счет граничных условий. Векторный потенциал магнитного поля, создаваемого протекающим током, не учитывается. Первое и второе слагаемые в коммутаторе (5) описывают соответственно рассеяние электронов на примесях и ЭФВ, угловые скобки означают усреднение по направлению импульса,  $\tau = l_i / v_F$  — время импульсной релаксации.

Условие (3) позволяет рассматривать одномерную задачу, в которой все величины зависят от координаты  $x$  вдоль мостика,  $0 < x < d$ . В грязном пределе можно представить  $\hat{G}_p$  в виде

$$\check{G}_p(\varepsilon, x) = \check{G}_0(\varepsilon, x) + \cos \vartheta_p \check{G}_a(\varepsilon, x), \quad (7)$$

где анизотропная компонента  $\check{G}_a$  мала по сравнению с изотропной  $\check{G}_0$ ;  $\vartheta_p$  — угол между импульсом электрона и осью контакта.

Граничные условия для  $\hat{G}_p$  в данной модели следуют из неравенств (2), (3). Вследствие растекания тока из сужения в массивные берега анизотропная часть функции Грина убывает на расстояниях больше  $a$ . Поскольку изменение изотропной части  $\hat{G}_0$  определяется длиной  $d$ , на концах мостика положим  $\hat{G}_0$  равной предельным значениям в глубине нормального или сверхпроводящего электродов, где плотностью тока можно пренебречь. Таким образом, имеем граничные условия

$$\check{G}_0(\varepsilon, 0) = \check{G}_N(\varepsilon), \quad \check{G}_0(\varepsilon, d) = \check{g}(\varepsilon). \quad (8)$$

Здесь  $\check{G}_N(\varepsilon)$  — квазиклассическая гриновская функция нормального металла с учетом приложенного напряжения  $V$ ;  $\check{g}(\varepsilon)$  — равновесная функция Грина однородного сверхпроводника. Явный вид этих функций совпадает с выражениями, приведенными в работах [1, 2]. Отметим лишь, что  $\check{g}(\varepsilon)$  в случае фононного механизма сверхпроводящего спаривания содержит комплексную щелевую функцию

$$\Delta(\varepsilon) = \Phi(\varepsilon) / Z(\varepsilon),$$

где  $\Phi(\varepsilon)$  — аномальная компонента оператора собственной энергии,  $Z(\varepsilon)$  — коэффициент перенормировки электронного спектра за счет ЭФВ [18]. Эти величины удовлетворяют интегральным уравнениям Элиашберга, и определяемая ими энергетическая зависимость  $\Delta(\varepsilon)$  и туннельной плотности состояний

$$N(\varepsilon) = \text{Re} |\varepsilon| / (\varepsilon^2 - \Delta^2(\varepsilon))^{1/2}$$

проявляются в виде фононных особенностей проводимости туннельных NIS контактов, на исследовании которых основан метод туннельной спектроскопии [19].

В данной работе рассмотрен вклад в проводимость грязного ScN контакта, возникающий за счет нелокального ЭФВ в неравновесной области сужения. Его зависимость от напряжения определяется спектральной функцией ЭФВ  $G(\omega)$ . Полученные результаты справедливы и в случае, когда сверхпроводящая щель возникает вследствие нефононного механизма и не имеет энергетической зависимости в области сильного изменения  $G(\omega)$ .

В рассматриваемом грязном пределе в силу неравенств  $l_i \ll l_e$ ,  $\Delta\tau_i \ll 1$  уравнение (5) сводится к системе

$$v_F \frac{\partial \check{G}_0}{\partial x} + \frac{1}{2\tau} [\check{G}_0, \check{G}_a] = 0, \quad (9)$$

$$\frac{1}{3} v_F \frac{\partial \check{G}_a}{\partial x} - i\varepsilon [\check{\tau}_3, \check{G}_0] = -i [\check{\Sigma}_0, \check{G}_0]. \quad (10)$$

Из условия нормировки [15, 16] для функции  $\check{G}_p$ , которое приводит к соотношениям

$$\check{G}_0^2 = 1, \quad \check{G}_0 \check{G}_a + \check{G}_a \check{G}_0 = 0, \quad (11)$$

можно найти из (9) анизотропную компоненту

$$\check{G}_a = -l_i \check{G}_0 (\partial \check{G}_0 / \partial x). \quad (12)$$

Для нашей одномерной модели с учетом граничного условия при  $x=0$  можем выразить также  $\check{G}_0$  через  $\check{G}_a$  в виде

$$\check{G}_0(x) = T_x \exp\left(\frac{1}{l_i} \int_0^x \check{G}_a(x) dx\right) \check{G}_N. \quad (13)$$

Необходимость  $T_x$ -упорядочения связана с некоммутативностью в общем случае  $\hat{G}_a(x)$  при различных аргументах. В работе [14] на основании неравенства (2) в уравнении (10) оставлялось только градиентное слагаемое, в результате чего  $\hat{G}_a(x)$  сводилось к константе, которую обозначим  $\check{G}_{a1}$ . Тогда  $T_x$ -экспонента в (13) превращается в обычную и с учетом второго граничного условия  $\check{G}_{a1}$  определяется однозначно

$$\check{G}_{a1} = (l_i/d) \ln(\check{g} \check{G}_N). \quad (14)$$

Для обобщения этого приближения представим  $\check{G}_a(x)$  в виде

$$\check{G}_a(x) = \check{G}_{a1} + g_a(x). \quad (15)$$

Интегрируя (10), получим

$$\check{g}_a(x) = \check{g}_a(0) + \check{K}(x), \quad (16)$$

где

$$\check{K}(x) = \frac{3i}{v_F} \int_0^x dx [\varepsilon \check{\tau}_a - \check{\Sigma}_0(x), \check{G}_0(x)]. \quad (17)$$

Второе слагаемое в (16) не дает вклада в ток, выполняется условие непрерывности  $dj/dx=0$ .

Подставляя (15) в уравнение (13) и переходя к «представлению взаимодействия» при вычислении  $T_x$ -экспоненты, а также используя граничные условия (8) и формулу (14), приходим к соотношению

$$T_x \exp\left(\frac{1}{l_i} \int_0^d \widetilde{G}_a(x) dx\right) = \check{1}, \quad (18)$$

где

$$\widetilde{G}_a(x) = \exp(-x \check{G}_{a1}/l_i) \check{g}_a(x) \exp(x \check{G}_{a1}/l_i).$$

Будем считать слагаемое  $\check{g}_a(x)$  в (15) малым, что справедливо при выполнении (9), и ограничимся разложением экспоненты с точностью до линейного члена. В результате получим условие на константу интегрирования в (16), через которую выражается добавка к току, связанная с пространственной зависимостью  $\check{G}_a(x)$ .

Физически предпочтительнее выглядит соотношение, содержащее усредненную по длине мостика величину

$$\bar{g}_a = \frac{1}{d} \int_0^d \check{g}_a(x) dx,$$

в дальнейшем обозначаемую  $\check{g}_a$ . Для нее из (18) следует уравнение

$$\int_0^d dx \check{G}_0(x) [\check{g}_a + \check{K}(x) - \bar{\check{K}}] \check{G}_0(x) = 0. \quad (19)$$

Оператор  $\check{G}_0(x)$  — изотропная часть гриновской функции нулевого приближения, которая удовлетворяет (8), (9) при  $\hat{G}_a(x) = \check{G}_{a1}$ . Эта функция

также используется при вычислении  $\tilde{K}$  в (17). Можно полагать, что (19) справедливо и для отличающейся от выбранной нами геометрии контакта, если интегрирование по  $x$  заменить пространственным усреднением по области контакта.

Соотношение (19) — основное уравнение, из которого мы найдем кельдышевскую компоненту  $\tilde{g}_a$  и затем вычислим добавку к току по формуле

$$I(V) = (-d/8eRD) \int d\varepsilon \text{Sp} \tau_3 \langle \tilde{g}_a(\varepsilon) v_{Fx} \cos \vartheta_p \rangle. \quad (20)$$

Нормальное сопротивление контакта определяется обычным образом  $R = d/\sigma_c S$ ;  $\sigma_c$  — проводимость материала мостика;  $S$  — площадь поперечного сечения. Для изотропной части оператора ЭФВ  $\tilde{\Sigma}_0$  используем известное выражение через функции Грина [15, 16]. Мы не будем останавливаться на достаточно громоздкой процедуре решения (19) относительно  $\tilde{g}_a$  [20].

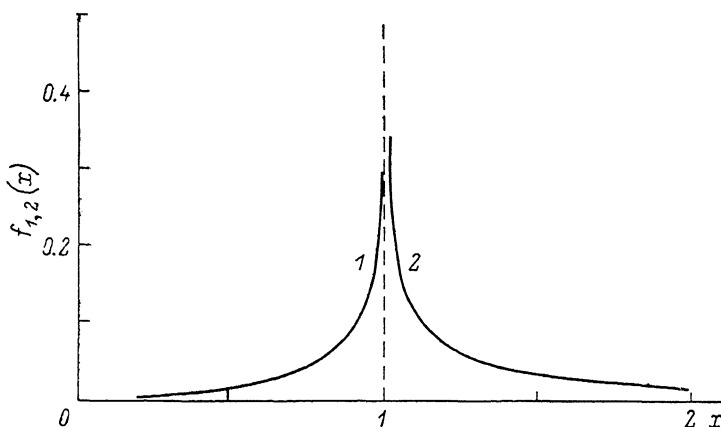


Рис. 1. Функции  $f_{1,2}(x)$ . В изменение проводимости контакта дают вклад электрон-фононные процессы, для которых одна из электронных энергий  $\varepsilon$  близка к величине щели  $\Delta$ .

Перейдем непосредственно к обсуждению окончательных выражений для связанной с ЭФВ части проводимости контакта

$$\sigma(V) = dI/dV,$$

которую при напряжениях  $V$  много больше щели можно записать в виде суммы двух слагаемых

$$\sigma_1(V) = \frac{d^2\Delta}{RD} \int_0^\infty d\omega G(\omega) \int \frac{d\varepsilon_1}{4T} \text{ch}\left(\frac{\varepsilon_1 - V}{2T}\right) \times \\ \times \int_0^\Delta d\varepsilon f_1(\varepsilon/\Delta) \left[ \frac{1}{(\varepsilon_1 - \omega)^2 - \varepsilon^2} - \frac{1}{(\varepsilon_1 + \omega)^2 - \varepsilon^2} \right], \quad (21)$$

$$\sigma_2(V) = \frac{d^2}{RD} \int_0^\infty d\omega G(\omega) \int \frac{d\varepsilon}{4T} \text{ch}^{-2}\left(\frac{\varepsilon - V + \omega}{2T}\right) \vartheta(|\varepsilon| - \Delta) \text{th}(\varepsilon/2T) f_2(\varepsilon/\Delta). \quad (22)$$

Спектральная функция ЭФВ равна

$$G(\omega) = \frac{1}{2} N(0) \sum_\lambda \frac{\langle |g_{pp}^\lambda|^2 \omega_{p-p_1}^\lambda \delta(\omega - \omega_{p-p_1}^\lambda) \cos^2 \vartheta_p \rangle}{\langle \cos^2 \vartheta_p \rangle}, \quad (23)$$

здесь  $N(0)$  — электронная плотность состояний на поверхности Ферми;  $g_{pp}^\lambda$  — матричный элемент ЭФВ;  $\omega_{p-p_1}^\lambda$  — частота фонона данной поляризации.

Функции  $f_{1, 2}(\varepsilon/\Delta)$  определены при  $|\varepsilon| < \Delta$  и  $|\varepsilon| > \Delta$  соответственно и равны

$$f_1(\varepsilon/\Delta) = 2 \int_0^1 dz (1-z) \sin(\pi z/2) [(\varepsilon/\Delta) \operatorname{sh}(zB_\varepsilon) - z \operatorname{ch}(zB_\varepsilon)],$$

$$f_2(\varepsilon/\Delta) = \pi \int_0^1 dz (1-z) z [(\Delta/\varepsilon) \operatorname{sh}(zB_\varepsilon) - z \operatorname{ch}(zB_\varepsilon)], \quad (24)$$

где

$$B_\varepsilon = \begin{cases} \operatorname{arcth}(\varepsilon/\Delta), & |\varepsilon| < \Delta, \\ \operatorname{arccth}(\varepsilon/\Delta), & |\varepsilon| > \Delta. \end{cases}$$

Эти функции быстро убывают при удалении от края щели (рис. 1) и имеют при  $\varepsilon = \Delta$  корневые особенности.

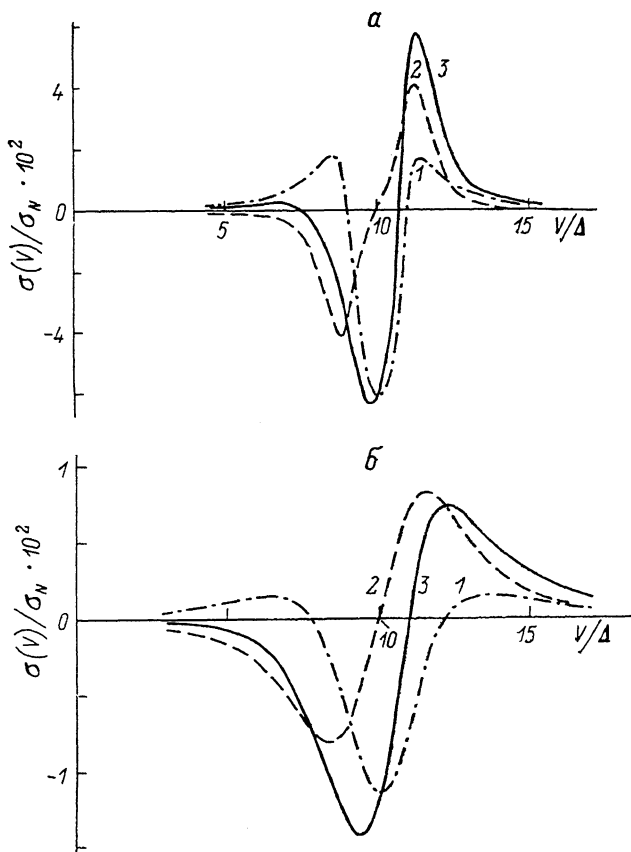


Рис. 2. Составляющие проводимости, обусловленные ЭФВ в контакте,  $\sigma_{1, 2}$  как функции  $V$  (1, 2) и их сумма  $\sigma$  (3) для  $G(\omega)$  в виде лоренцевской функции со средней частотой  $\omega_0 = 10\Delta$  и полушириной  $\gamma: \gamma/\Delta = 0.5$  (а), 2 (б).  $T=0$ .

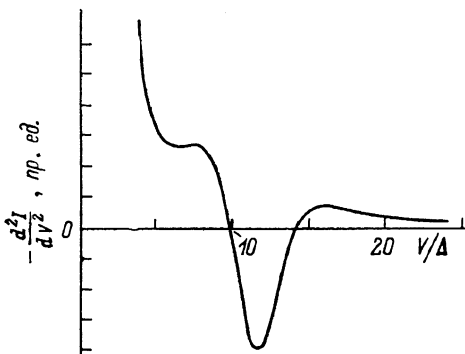
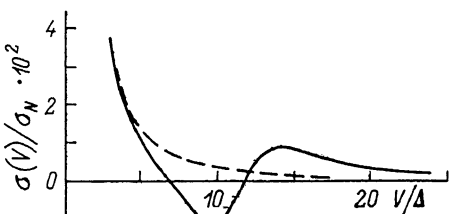
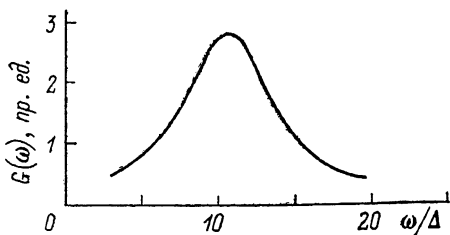
Вычисленный вклад в проводимость возникает за счет изотропной части оператора ЭФВ, которая в случае слабого отклонения от равновесия приводит к релаксации разбаланса заселенности ветвей квазичастичного спектра и определяет глубину проникновения продольного электрического поля в сверхпроводник [21] при протекании тока через NS-границу при малой длине свободного пробега электронов [22]. В данной задаче в главном приближении распределение электрического поля определяется геометрией сужения. Электрон-фононные процессы релаксации дают лишь небольшую добавку к падению напряжения, что приводит к составляющей

проводимости  $\sigma_2(V)$ . При  $V \gg \Delta$  также оказывается существенной энергетической зависимостью вещественной части оператора ЭФВ, отвечающей виртуальным процессам, в результате чего возникает слагаемое  $\sigma_1(V)$ .

На рис. 2, а, б показаны зависимости от напряжения фононной добавки к проводимости для функции  $G(\omega)$  лоренцевского вида. Полная неомическая проводимость с учетом щелевой особенности приведена на рис. 3. Амплитуда данных вкладов определяется безразмерным параметром

$$\lambda^2 \Delta / \hbar D, \quad (25)$$

который имеет типичные значения порядка 0.1—1. Если даже эта величина порядка или больше единицы, относительная величина нелинейности  $\sigma(V)$  остается малой вследствие того, что в (21), (22) интегралы по  $\epsilon$  сходятся в узком интервале вблизи энергии щели. Эта дополнительная малость позволяет надеяться, что полученные результаты останутся верными, хотя бы качественно, при нарушении верхнего ограничения (2) на размер  $d$ , что существенно для сверхпроводников с небольшой длиной когерентности.



### Обсуждение результатов

Из результатов данной работы следует, что происхождение нелинейности проводимости при напряжениях, соответствующих характерным фононным частотам, в грязных ScN контактах существенно иное, чем в туннель-

Рис. 3. Зависимость нелинейной составляющей проводимости  $\sigma(V)$  и  $d^2I/dV^2$  от напряжения при заданной  $G(\omega)$ .

$\sigma_N$  — омическая проводимость,  $T=0$ . Штриховая кривая соответствует приближению [14].

ных SIN переходах и в чистых точечных контактах. Влияние энергетической зависимости  $\Delta(\epsilon)$  на проводимость может быть учтено [20] путем простого обобщения результатов [14]. Из (21), (22) и (25) видно, что рассматриваемые здесь эффекты усиливаются при уменьшении длины свободного пробега электронов.

Поведение  $\sigma(V)$  (рис. 3) хорошо согласуется с результатами экспериментального исследования ЭФВ в технеции на грязных микроконтактах Ag—Tc [11, 12]. Минимум проводимости, соответствующий пику фононной функции  $G(\omega)$  при частоте  $\omega_0=16.5$  мэВ, рассматривался в этих работах как особенность туннельного типа, наблюдаемая в грязных контактах с непосредственной проводимостью. Результаты наших расчетов показывают, что особенности такого вида являются следствием влияния ЭФВ в области контакта. Соответствующий вклад в проводимость при увеличении напряжения вначале отрицателен, а затем становится положительным (рис. 2, 3). Такое поведение противоположно тому, что наблюдается в туннельных контактах, где проводимость сначала увеличивается по сравнению со значением, следующим из теории БКШ, ввиду роста ве-

щественной части  $\Delta(\epsilon)$  в области энергий вблизи фононного пика, а затем  $\sigma(V)$  падает за счет влияния мнимой части щелевой функции [18, 19, 23].

Как отмечалось выше, фононная составляющая проводимости при диффузном движении электронов в контакте ScN определяется изотропной в импульсном пространстве компонентой оператора ЭФВ. Для полностью нормального контакта этот вклад исчезает, в уравнениях (9), (10) следует сохранить анизотропную компоненту оператора взаимодействия, что позволяет получить известные результаты [6, 7], следующие из решения кинетического уравнения.

Основным препятствием непосредственного применения наших расчетов к интерпретации данных микроконтактных исследований высокотемпературных оксидных сверхпроводников является очевидное нарушение неравенства (2), поскольку длина когерентности в этих материалах экстремально мала. При этом значительно меняются пространственные зависимости всех величин, но, поскольку в окончательные выражения входят лишь их средние по области контакта, можно надеяться на качественное сохранение характера поведения проводимости как функции  $V$  при условии, что параметр (25) не слишком велик. В этой связи можно отметить эксперименты на контактах  $\text{YBa}_2\text{Cu}_3\text{O}_{7-x}$  [24], имеющих металлическое поведение проводимости с максимумом, отбечающим щелевому напряжению. При напряжениях 35—40 мэВ имеется сильное немонотонное изменение проводимости, совпадающее по виду с полученным нами (рис. 2). Можно предполагать, что эта особенность связана с сильным взаимодействием электронов с фононной модой с частотой 320—330  $\text{см}^{-1}$ , наблюдавшейся, например, в экспериментах по рамановскому рассеянию [25].

#### Список литературы

- [1] Хлус В. А. // ФНТ. 1983. Т. 9. № 9. С. 985—988.
- [2] Хлус В. А. // ЖЭТФ. 1988. Т. 94. № 11. С. 341—355.
- [3] Янсон И. К. // ФНТ. 1983. Т. 9. № 7. С. 676—709.
- [4] Duif A. M., Jansen A. J. M., Wyder P. // J. Phys.: Condens. Matter. 1989. V. 1. N 20. P. 3157—3189.
- [5] Кулик И. О., Омельянчук А. Н., Шехтер Р. И. // ФНТ. 1977. Т. 3. № 12. С. 1543—1558.
- [6] Кулик И. О., Янсон И. К. // ФНТ. 1978. Т. 4. № 10. С. 1267—1278.
- [7] Кулик И. О., Шехтер Р. И., Шкорбатов А. Г. // ЖЭТФ. 1981. Т. 81. № 6. С. 2126—2141.
- [8] Yanson I. K., Bobrov N. L., Rybalchenko L. F., Fisun V. V. // Sol. St. Comm. 1984. V. 50. N 6. P. 515—519.
- [9] Янсон И. К., Бобров Н. Л., Рыбальченко Л. Ф., Фисун В. В. // ФТТ. 1985. Т. 27. № 6. С. 1795—1799.
- [10] Бобров Н. Л., Рыбальченко Л. Ф., Оболенский М. А., Фисун В. В. // ФНТ. 1985. Т. 11. № 9. С. 925—936.
- [11] Захаров А. А., Цетлин М. Б. // Письма в ЖЭТФ. 1985. Т. 41. № 1. С. 11—13.
- [12] Захаров А. А., Цетлин М. Б. // ФНТ. 1986. Т. 12. № 8. С. 876—880.
- [13] Артеменко С. Н., Волков А. Ф., Зайцев А. В. // ЖЭТФ. 1979. Т. 76. № 5. С. 1816—1833.
- [14] Artemenko S. N., Volkov A. F., Zaitsev A. V. // Sol. St. Comm. 1979. V. 30. N 12. P. 771—774.
- [15] Ларкин А. И., Овчинников Ю. Н. // ЖЭТФ. 1968. Т. 55. № 6. С. 2262—2272.
- [16] Ларкин А. И., Овчинников Ю. Н. // ЖЭТФ. 1975. Т. 68. № 5. С. 1915—1927.
- [17] Абрикосов А. А., Горьков Л. П., Дзялошинский И. Е. Методы квантовой теории поля в статистической физике. М., 1962. 444 с.
- [18] Шриффер Дж. Теория сверхпроводимости. М., 1970. 311 с.
- [19] Mc Millan W. L., Rowell J. M. Tunneling and strong-coupling superconductivity. In Superconductivity. V. 1. New York, 1969. P. 561—614.
- [20] Демин А. В., Хлус В. А. // Препринт ВНИИ монокристаллов. ИМК-89-17. Харьков, 1989. 30 с.
- [21] Артеменко С. Н., Волков А. Ф. // УФН. 1979. Т. 128. № 1. С. 3—30.
- [22] Artemenko S. N., Volkov A. F., Zaitsev A. V. // J. Low. Temp. Phys. 1978. V. 30. N 3/4 P. 487—502.
- [23] Scalapino D. J., Schrieffer J. R., Wilkins J. W. // Phys. Rev. 1966. V. 148. N 1. P. 265—279.
- [24] Gray K. E., Moog E. R., Hawley M. B. // Int. Meeting on High- $T_c$  Superconductivity. Mauterndorf. Austria, 1988. P. 158—161.
- [25] Feile R., Schmitt U., Leiderer P. // Physica C. 1988. V. 153—155. P. 293—294.